

6 Kern-Modelle

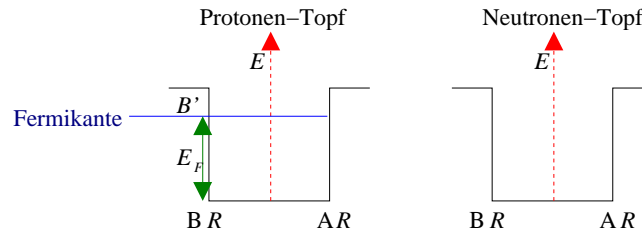
6.1 Das Fermi-Gas-Modell

Die Bethe-Weizsäcker'sche Massenformel $M_{atom}(A, Z)$ findet ihre Erklärung im **Tröpfchenmodell** des Atomkerns. Die Parameter der einzelnen Terme (a_r, a_s, a_{sym}, \dots) stammen vor allem aus Beobachtungen und Messungen. Dieses Modell gibt kaum Einblicke in Struktur und Dynamik des Atomkerns. Viele Eigenschaften von Atomkernen sind besser in einem **Einteilchen-Modell** zu verstehen.

Grundannahme: Nukleonen bewegen sich im Kern unabhängig von einander (keineswegs selbstverständlich!)

Einfachste Version eines Einteilchen-Modells: **Fermigas-Modell**

Nukleonen bewegen sich **frei** innerhalb des Kernvolumens. Dort spüren sie ein konstantes, attraktives mittleres Potential (verursacht von der NN-Wechselwirkung).



Zahl der Zustände, die ein Nukleon in einem Volumen V im Impulsintervall $[p, p + dp]$ einnehmen kann:

$$dn = \frac{V 4\pi p^2 dp}{(2\pi\hbar)^3}$$

Nukleonen (Protonen/Neutronen) haben Spin $1/2$, sind sogenannte Fermionen, die Pauliprinzip gehorchen..

Jeder Zustand kann nur einmal besetzt werden

\Rightarrow Im Grundzustand des Kerns werden die niedrigsten Energiezustände bis zu einem Maximalimpuls, dem sog. Fermi-Impuls p_f , besetzt sein.

Gesamtzahl der Zustände

$$n = \int_0^{p_f} dp \frac{dn}{dp} = \frac{V p_f^3}{6\pi^2 \hbar^3}$$

Nun kann noch jeder Impulszustand spin \uparrow oder spin \downarrow tragen. (Faktor 2)

Zahl der Neutronen bzw. Protonen

$$N = \frac{V (p_f^{(n)})^3}{3\pi^2 \hbar^3}, \quad Z = \frac{V (p_f^{(p)})^3}{3\pi^2 \hbar^3}$$

mit $p_f^{(n)}$ und $p_f^{(p)}$, den Fermi-Impulsen der Protonen/Neutronen.

Das Kernvolumen $V = \frac{4\pi}{3} R_0^3 A$ mit $R_0 = 1,21 \text{ fm}$. Damit erhält man für einen Kern mit $N = Z = A/2$ und gleichem Radius der p/n -Potentialtöpfe

$$P_f = p_f^{(p)} = p_f^{(n)} = (3\pi^2 \hbar^3 \frac{A}{2V})^{1/3} = \frac{\hbar}{2R_0} (9\pi)^{1/3} = \frac{1,52\hbar}{R_0} \approx 250 \text{ MeV}/c$$

Nukleonen können sich demnach im Kern mit großem Impuls frei bewegen.
Die kinetische Energie des höchsten besetzten Zustand beträgt

$$E_f = \frac{p_f^2}{2M} \approx 33 \text{ MeV}$$

und heisst Fermi-Energie ($M = 939 \text{ MeV}/c^2$ Nukleonmasse)

Die Differenz B' zwischen der Oberkante des Potentialtopfs und der Energie an der Fermi-Kante ist für die meisten konstant und beträgt $7 - 8 \text{ MeV}$.

-> Tiefe des Potentialtopfs $V_0 = E_f + B' = 40 \text{ MeV}$ ist in guter Näherung unabhängig von der Massenzahl. Ähnlich wie beim Elektronengas in Metallen liegt im Kern ein **Nukleongas** vor, dessen kinetische Energie vergleichbar mit der Potentialtiefe ist. Kerne sind **relativ schwach gebundene** Systeme!

Bemerke: Beim Einbringen von mehr Nukleonen bleiben V_0, p_f, E_k sowie die Dichte $\rho = 2p_f^3/3\pi^2\hbar^3$ **konstant**. Es wächst proportional zu A das Kernvolumen, so dass Platz für mehr Zustände entsteht: $A = V \cdot 2p_f^3/3\pi^2\hbar^3$

Asymmetrie-Energie im Fermigas-Modell Schwere Kerne besitzen **Neutronenüberschuss:**

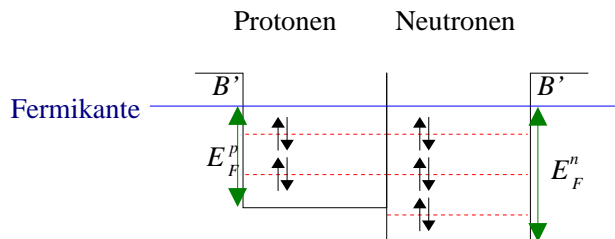
$$N > Z \Rightarrow p_f^{(n)} > p_f^{(p)}, E_f^n > E_f^p$$

Für stabile Kerne müssen die Fermi-Kanten der Protonen und Neutronen auf gleichem Niveau liegen, sonst würde eine Kernumwandlung durch β -Zerfall zu einem energetisch günstigerem Zustand führen.

\Rightarrow Tiefe des p-Topfs geringer als die des Neutronen-Topfs.

Coulombabstoßung der Protonen ist dafür verantwortlich.

$$V_c = (Z - 1) \frac{\alpha \hbar c}{R}$$



p/n -Töpfe liegen räumlich übereinander.

Betrachte Abhängigkeit der Bindungsenergie vom Neutronenüberschuss $N - Z$:
mittlere kinetische Energie pro Nukleon

$$\langle E_{kin} \rangle = \frac{\int_0^{p_f} dp p^2 E_{kin}(p)}{\int_0^{p_f} dp p^2} = \frac{3}{p_f^3} \frac{1}{2M} \frac{p_f^5}{5} = \frac{3p_f^2}{10M} = \frac{3}{5} E_k$$

Gesamte kinetische Energie des Kerns

$$E_{kin}(N, Z) = N \langle E_{kin}^n \rangle + Z \langle E_{kin}^p \rangle = \frac{3}{10M} [N(p_f^n)^2 + Z(p_f^p)^2]$$

Fermi-Impulse gegeben durch Dichten:

$$p_f^n = (3\pi^2 \hbar^3 \frac{N}{v})^{1/3} = \frac{\hbar}{R_0} (\frac{9\pi}{4})^{1/3} (\frac{N}{A})^{1/3}$$

entsprechend

$$p_f^p = \frac{\hbar}{R_0} (\frac{9\pi}{4})^{1/3} (\frac{Z}{A})^{1/3}$$

Dies ergibt:

$$E_{kin}(N, Z) = \frac{3\hbar^2}{10MR_0^2} (\frac{9\pi}{4})^{2/3} \frac{N^{5/3} + Z^{5/3}}{A^{2/3}}$$

Entwickle dies bei festem A in $N - Z = \Delta$

$$\frac{3\hbar^2}{10MR_0^2} (\frac{9\pi}{4})^{2/3} A^{-2/3} [(\frac{A+\Delta}{2})^{5/3} + (\frac{A-\Delta}{2})^{5/3}] = \frac{3\hbar^2}{10MR_0^2} (\frac{9\pi}{8})^{2/3} \{A + \frac{5}{9} \frac{(N-Z)^2}{A}\}$$

$\frac{1}{4}a_{sym} = \frac{5}{9} \langle E_{kin} \rangle = \frac{p_f^2}{6M} = \frac{E_f}{3} \approx 11 MeV$ entspricht der Hälfte des empirischen Werts von $a_{sym} = 93, 15 MeV$

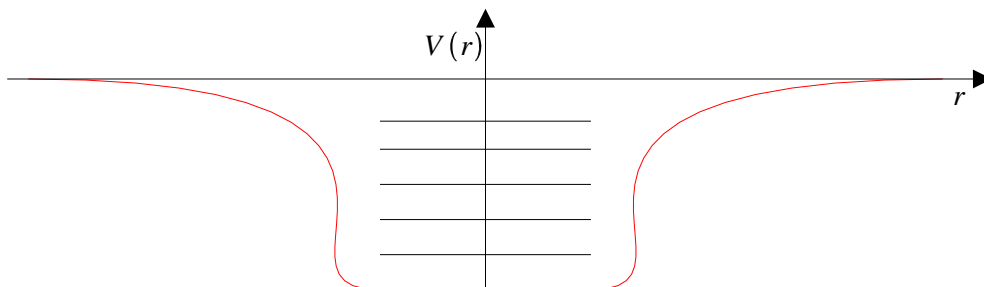
6.2 Das Schalenmodell des Atomkerns

Empirische Hinweise auf Schalenstruktur im Atomkern.

“**Magische**” **Zahlen**: 2,8,20,28,50,82,126,...

Wenn Neutronzahl N oder Protonzahl Z eine magische Zahl ist, ist der entsprechende Kern besonders stabil.

- große Separationsenergie für ein Nukleon
- Fügt man weiteres Nukleon hinzu, so ist dessen Separationsenergie wesentlich kleiner.
Analog zu e^- in Atomhülle:
 - Edelgase: große Ionisierungsenergie
 - Alkalimetalle: kleine Ionisierungsenergie
- Ist Z oder N eine magische Zahl, so gibt es besonders viele stabile Kerne
 - 6 Kerne mit $N = 50$, 7 Kerne mit $N = 82$
 - $Z=50$ Sn hat 10 natürlich vorkommende Isotope
 - Außergewöhnlich stabil: doppelt magische Kerne
 ${}^4_2\text{He}$, ${}^{16}_8\text{O}$, ${}^{40}_{20}\text{Ca}$, ${}^{48}_{20}\text{Ca}$, ${}^{208}_{82}\text{Pb}$

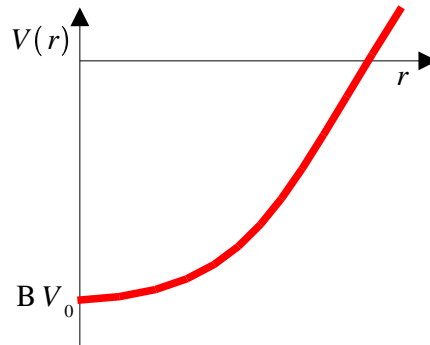


- Nukleonen bewegen sich in mittleren (sphärischen) Kernpotential
- Besetzung der Einteilchenniveaus gemäß Pauliprinzip
- mittleres Kernpotential wird selbstkonsistent durch NN-Wechselwirkung erzeugt
NN-Wechselwirkung ist kurzreichweitig

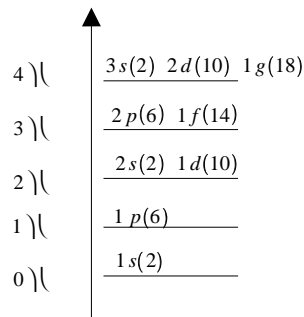
$$\rightarrow V(r) \sim \rho(r)$$

$\rho(r)$ ist die Nukleonendichte.

- Gebundene Zustände im sphärischen Potentialtopf
Wellenfunktion: $\Psi_{nlm}(\vec{r}) = R_{nl}(r)Y_{lm}(\vartheta, \varphi)$ (Kugelflächenfunktion)
 $n = 1, 2, 3; \dots$ Zahl der Knoten $- 1$, Hauptquantenzahl
 $l = 0, 1, 2, 3$ Bahndrehimpulsquantenzahl
 $= s, p, d, f$
- Entartung von E_{nl} ist $2(2l + 1)$
- Harmonischer Oszillator



- $V(r) = -V_0(1 - \frac{r^2}{R^2})$
 $\frac{m}{2}\omega^2 = \frac{V_0}{R}$
 $E_{nl} = -V_0 + \hbar\omega \underbrace{(n_x + n_y + n_z + \frac{3}{2})}_{2(n-1)+l} = -V_0 + \hbar\omega(2n + l - \frac{1}{2})$



- Realistischer: Woods-Saxon Potential

$$V(r) = \frac{-V_0}{1 + e^{(r-R)/a}}$$

V_0 : Potentialtiefe, R : "Kernradius", a : Randunschärfe

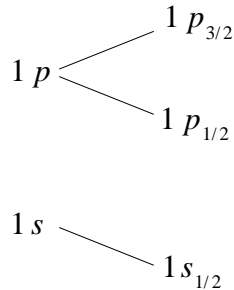
$V_0 = 51 \text{ MeV}$, $R = 1,27 \text{ fm} \cdot A^{1/3}$, $a = 0,67 \text{ fm}$

→ Die ersten drei magischen Zahlen (2,8,20) können erklärt werden, die restlichen **nicht!**

- Grundlegende Idee von Mayer-Goeppert, Jensen Haxel und Suess (1949), Nobelpreis (1963). Wechselwirkungsenergie zwischen **Spin** und **Bahndrehimpuls** der Nukleonen ist entscheidend.

Spin-Bahn-Kopplung

Atomhülle: Spin-Bahn-Wechselwirkung → Feinstrukturaufspaltung



- Aufspaltung ist kleiner Effekt: $\propto \alpha^2$, $\alpha = \frac{e^2}{4\pi} = \frac{1}{137,036}$

Mittleres Kernpotential

$$V_{\text{Kern}}(r) = V_c(r) + V_{ls}(r) \cdot \vec{l} \cdot \vec{s}$$

- $\vec{l} = -i\hbar\vec{r} \times \vec{\nabla}$ Bahndrehimpuls
- $\vec{s} = \frac{\vec{\sigma}}{2}$ Nukleonen-Spin

Gesamtdrehimpuls $\vec{j} = \vec{l} + \vec{s}$ ist die Erhaltungsgröße $[V_{\text{Kern}}(r), \vec{j}] = 0$

Quantenzahl $j = l \pm 1/2$

Zustände gekennzeichnet durch $nljm_j$ Entartung von E_{nje} ist $2j + 1$

- $\vec{l} \cdot \vec{s} = \frac{1}{2}[\vec{j}^2 - \vec{l}^2 - \vec{s}^2] = \frac{1}{2}[j(j+1) - l(l+1) - \frac{3}{4}] =$
 $l/2$ für $j = l + 1/2$
 $-(l+1)/2$ für $j = l - 1/2$
 Spin-Bahnaufspaltung **wächst** mit l : $\Delta E_{ls} = (l + 1/2)\langle V_{ls}(r) \rangle$

- Im Atomkern sind die Verhältnisse umgekehrt zu denen in der Atomhülle

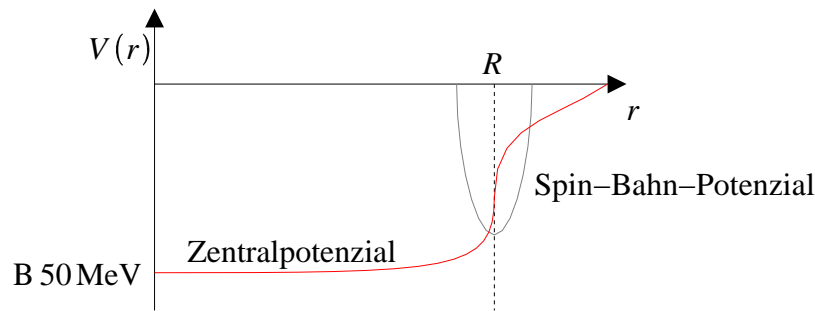
- Zustand mit $j = l + 1/2$ wird abgesenkt.
 Zustand mit $j = l - 1/2$ wird angehoben.
 $\langle V_{ls}(r) \rangle_{\text{Kern}} < 0$

- Spin-Bahnaufspaltung ist groß, beeinflusst wesentlich die Niveaufolge
z.B: Zustand $1f_{7/2}$ wird stark abgesenkt
→ magische Zahl 28

- Empirische Parameterisierung des Spin-Bahn-Potentials

$$V_{ls}(r) = \tilde{U}_{ls} \frac{1}{r} \frac{df(r)}{dr}, \quad f(r) = \frac{\varrho(r)}{\varrho(0)} = \frac{1}{1 + e^{(r-R)/a}}$$

\tilde{U}_{ls} : Stärkeparameter $\simeq 35 \text{ MeV fm}^2$



- Schematisches Schalenmodell Potential

6.3 Einfache Vorhersagen des Schalenmodells

Annahmen: zentralsymmetrisches mittleres Potential, Restwechselwirkungen der Nukleonen vernachlässigbar. Anwendbar auf sphärische Kerne in der Nähe von Schalenabschlüssen. Einteilchen- und Ein-Lochzustände können wesentliche Kerneigenschaften beschreiben.

Beispiele:

- ${}^{35}_{16}\text{S}_{19}$
 p : $1s_{1/2}, 1p_{3/2}, 1p_{1/2}, 1d_{5/2}, 2s_{1/2}$ gefüllt
 n : $1s_{1/2}, 1p_{3/2}, 1p_{1/2}, 1d_{5/2}, 2s_{1/2}$ gefüllt
 $1d_{3/2}$ -Schale hat ein **Neutronenloch**.
Grundzustand $J^P = \frac{3}{2}^+$
- ${}^{87}_{38}\text{Sr}_{49}$
 p : $1s_{1/2}, 1p_{3/2}, 1p_{1/2}, 1d_{5/2}, 2s_{1/2}, 1d_{3/2}, 1f_{7/2}, 2p_{3/2}, 1f_{5/2}$ gefüllt
 n : $1s_{1/2}, 1p_{3/2}, 1p_{1/2}, 1d_{5/2}, 2s_{1/2}, 1d_{3/2}, 1f_{7/2}, 2p_{3/2}, 1f_{5/2}, 2p_{1/2}$ gefüllt
 $1g_{9/2}$ -Schale hat ein **Neutronenloch**.
Grundzustand $J^P = \frac{9}{2}^+$
- ${}^{41}_{20}\text{Ca}$
 p : $1s_{1/2} - 1d_{3/2}$ gefüllt
 n : $1s_{1/2} - 1d_{3/2}$ gefüllt
 einzelnes Neutron in $1f_{7/2}$
Grundzustand $J^P = \frac{7}{2}^-$

$\frac{6,3 \text{ MeV}}{\frac{3}{2}}$	$\frac{6,2 \text{ MeV}}{\frac{3}{2}}$	Leuchtnukleon wird angeregt $1 d_{5/2} \} 2 s_{1/2}$		
Nukleon in $1 p_{3/2}$ füllt Loch in $1 p_{1/2}$			$0,9 \text{ MeV} \frac{1}{2}^+$	$0,5 \text{ MeV} \frac{1}{2}^+$
	$\frac{1}{2}^-$	$J^p = 0^+$	$J^p = \frac{5}{2}^+$	$\frac{5}{2}^+$
$^{15}_7\text{N}$	$^{16}_8\text{O}$	$^{16}_8\text{O}$	$^{17}_8\text{O}$	$^{17}_9\text{F}$
Protonloch in $1 p_{1/2}$	Neutronloch in $1 p_{1/2}$	$1 s_{1/2}, 1 p_{3/2}$ und $1 p_{1/2}$ mit p und n voll besetzt. Drehimpulse koppeln zu 0.	zusätzliches n in $1 d_{5/2}$	zusätzliches p in $1 d_{5/2}$

Spiegelkerne um $^{16}_8\text{O}$

Magnetische Momente der Kerne Die Spins und Bahndrehimpulse der Nukleonen einer gefüllten j -Schale koppeln zu Null.

→ Drehimpuls und magnetisches Moment des Kerns wird vom "Leucht"-Nukleon. (bzw. von Nukleon-Loch) bestimmt.

$$\hat{\mu}_{Kern} = g_e \vec{l} + g_s \vec{s}$$

gyromagnetische Faktoren

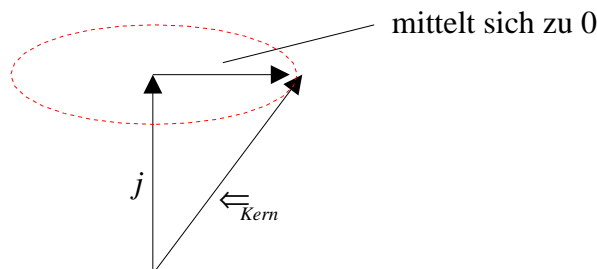
$$g_e = \begin{cases} 1 & \text{Proton} \\ 0 & \text{Neutron} \end{cases}$$

$$g_s = \begin{cases} 5,58 & \text{für Proton} \\ -3,82 & \text{für Neutron} \end{cases}$$

$$\mu_{Kern} = \langle jj | \hat{\mu}_{Kern,z} | jj \rangle = g_{Kern} \langle jj | j_z | jj \rangle = g_{Kern} \cdot j$$

Vektorprojektions-Theorem:

$$g_{Kern} = \frac{\langle jj | \vec{\mu}_{kern} \cdot \vec{j} | jj \rangle}{\langle jj | \vec{j}^2 | jj \rangle}$$



Benutze:

$$2\vec{l} \cdot \vec{j} = \vec{j}^2 + \vec{l}^2 - \vec{s}^2$$

$$2\vec{s} \cdot \vec{j} = \vec{j}^2 + \vec{s}^2 - \vec{l}^2$$

Damit ergibt sich:

$$g_{Kern} = \frac{1}{2}(g_e + g_s) + \frac{1}{2}(g_e - g_s) \frac{l(l+1) - s(s+1)}{j(j+1)}$$

Werte dies getrennt aus:

$$j = l + \frac{1}{2} : \frac{l(l+1)-3/4}{(l+1/2)(l+3/2)} = 1 - \frac{2}{2l+1}$$

$$j = l - \frac{1}{2} : \frac{l(l+1)-3/4}{(l-1/2)(l+1/2)} = 1 + \frac{2}{2l+1}$$

$$g_{\text{Kern}} = g_e \pm \frac{g_s + g_e}{2l+1} \text{ für } j = l \pm 1/2 \text{ (Schmidt'sche Linien)}$$

Kern	Grundzustand	J^P	Schalenmodell	Experiment
${}^{15}_7\text{N}$	$p - 1p_{1/2}1$	$\frac{1}{2}^-$	-0,264	-0,283
${}^{15}_8\text{O}$	$n - 1p_{1/2}1$	$\frac{1}{2}^-$	+0,638	+0,719
${}^{17}_8\text{O}$	$n - 1d_{5/2}$	$\frac{5}{2}^+$	-1,913	-1,894
${}^{17}_9\text{F}$	$p - 1d_{5/2}$	$\frac{5}{2}^+$	4,722	+4,793

6.4 Messung magnetischer Momente von Kernen

Zwei prinzipielle Methoden:

- WW des Kernmoments mit inneren Atom- oder Molekülfeldern
- WW des Kernmoments mit äußeren Magnetfeldern

6.4.1 Hyperfeinstruktur(HFS)aufspaltung im Magnetfeld der Atomhülle

Drehimpulse \vec{J}_A von Atomhülle und \vec{J}_K von Kern koppeln zum Gesamtdrehimpuls

$$\vec{F} = \vec{J}_A + \vec{J}_K$$

F-Quantenzahl kann Werte $J_A + J_K, J_A + J_K - 1, \dots, |J_A - J_K|$ annehmen.

→ $2J_K + 1$ Kopplungsmöglichkeiten für $J_A \geq J_K$

→ $2J_A + 1$ Kopplungsmöglichkeiten für $J_K \geq J_A$

Energieniveaus des Atoms

$$E_{J_A, J_K} = E_{J_A + \Delta E_{HFS}}$$

E_{J_A} : Energieniveau der Elektronenhülle

$$\Delta E_{HFS} = -\vec{\mu}_K \cdot \vec{B}_A$$

$$\vec{B}_A = -a \frac{\vec{J}_A}{|\vec{J}_A|}$$

\vec{B}_A : Magnetfeld der Hülle am

$$\begin{aligned} \vec{\mu}_K &= g_K \mu_N \frac{\vec{J}_K}{\hbar} \\ \rightarrow \Delta E_{HFS} &= a g_K \mu_N \frac{\vec{J}_A \cdot \vec{J}_K}{\hbar |J_A|} \end{aligned}$$

Bestimmung des Magnetischen Moments am Kern erfordert die Bestimmung von B_A .

6.4.2 HFS-Aufspaltung im äußeren Magnetfeld

Beispiel: $J_A = \frac{1}{2}, J_K = \frac{3}{2}$

b) $\vec{\mu}_A \cdot \vec{B} \ll \vec{\mu}_K \cdot \vec{B}_A$

c) $\vec{\mu}_A \cdot \vec{B} \gg \vec{\mu}_K \cdot \vec{B}_A$

Paschen-Back-Effekt / entkoppelte Einzeldrehimpulse

$$\Delta E_{HFS} \rightarrow -g_K \mu_N B m_{J_K}$$

d.h. Magnetfeld der Hülle spielt keine Rolle mehr!

$\Rightarrow \frac{\delta g_K}{g_K} \rightarrow 0, 1\%$, sprich deutlich genauer!

6.4.3 Molekülstrahlmethode

a) Stern-Gerlach-Effekt ablenkende Kraft: $F_Z = \frac{\partial}{\partial z} (\vec{\mu} \cdot \vec{B}) = (\vec{\mu}_K + \vec{\mu}_A) \frac{\partial \vec{B}}{\partial z}$

\hookrightarrow Messung von Kernmomenten erfordert diamagnetische Atomhülle (ansonsten wird der Effekt durch $\vec{\mu}_A$ dominiert).

Problem: geringe Ablenkung des Strahls

z.B.: H_2 -Moleküle (Stern, Frisch, Estermann 1933) für eine erste Bestimmung von μ_K des Protons

$\frac{\partial B}{\partial z} = 800 \text{ Tm}^{-1}$, Flugweg: 1,5 m, Strahlablenkung: 10^{-2} mm

\hookrightarrow recht ungenaue Methode.

b) Kernresonanz

- Potentielle Energie des Kernmoments im äußeren Feld \vec{B} , $V = -\vec{\mu}_k \cdot \vec{B}$ hat Eigenwerte:
 $-g_K \mu_N B m_K$
- $|\Delta E| = g_K \mu_N B$
- Übergänge durch Einstrahlung von magnetischem hf-Feld $\perp \vec{B}$ mit $\hbar \omega = |\Delta E|$
 $\Rightarrow \omega_{res} = \frac{g_K \mu_N}{\hbar} B =: \gamma B$ gyromagnetisches Verhältnis
 ω_{res} ist gleich der Larmorfrequenz ω_L des Kerns im Feld B .
- Atomstrahlresonanz nach Rabi

6.4.4 Kernresonanz in flüssigen und festen Proben

6.5 Isospin von Atomkernen

Kozept des Isospins Proton und Neutron sind **zwei Zustände** eines Teilchens, des Nukleons

\rightarrow analog zu spin-up und spin-down

$$|p\rangle \hat{=} |\uparrow\rangle = \begin{pmatrix} 1 \\ 0 \end{pmatrix}, |n\rangle \hat{=} |\downarrow\rangle = \begin{pmatrix} 0 \\ 1 \end{pmatrix}$$

Isospin-Operatoren $\vec{\tau} = (\tau_1, \tau_2, \tau_3)$

$$\tau_1 = \begin{pmatrix} 0 & 1 \\ 1 & 0 \end{pmatrix}, \tau_2 = \begin{pmatrix} 0 & -i \\ i & 0 \end{pmatrix}, \tau_3 = \begin{pmatrix} 1 & 0 \\ 0 & -1 \end{pmatrix}$$

formal identisch mit Pauli-Spin-Matrizen $\vec{\sigma}$.

$$\vec{t} = \frac{\vec{\tau}}{2}$$

$$t_3 |p\rangle = \frac{1}{2} |p\rangle, t_3 |n\rangle = -\frac{1}{2} |n\rangle$$

$$\vec{t}^2 |p\rangle = \frac{3}{4} |p\rangle, \vec{t}^2 |n\rangle = \frac{3}{4} |n\rangle$$

Das Nukleon hat Isospin $T = \frac{1}{2}$ (Isospin-doublett)

Isospin-Invarianz der starken Wechselwirkung $[H_{\text{stark}}, \vec{\tau}] = 0$

Unter Austausch von Protonen und Neutronen bleibt die starke Wechselwirkung gleich.

Elektromagnetische Wechselwirkung bricht (leicht) Isospin-Symmetrie \rightarrow analog zum Spin im äusseren Magnetfeld.

\rightarrow **Atomkern:**

$$\left. \begin{array}{l} \text{Proton : } T = \frac{1}{2}, T_3 = +\frac{1}{2} \\ \text{Neutron : } T = \frac{1}{2}, T_3 = -\frac{1}{2} \end{array} \right\} \begin{array}{l} \text{Isospin-} \\ \text{quantenzahlen} \end{array} \left. \vphantom{\begin{array}{l} \text{Proton} \\ \text{Neutron} \end{array}} \right\} \begin{array}{l} \text{Nukleon ist} \\ \text{Isospin - Doublett} \end{array}$$

Ein Kern mit Z Protonen und N Neutronen (somit Massenzahl $A=N+Z$) hat $T_3 = \frac{1}{2}(Z - N)$ (T_3 ist additiv)

Was ist der Gesamt-Isospin T des Kerns?

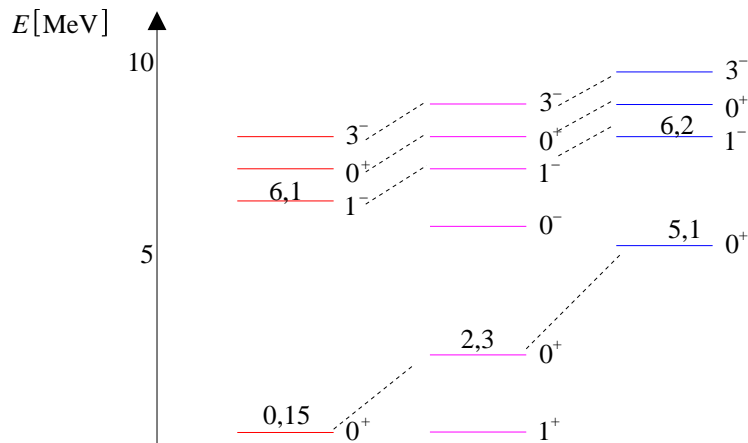
$$\frac{|N-Z|}{Z} \leq T \leq \underbrace{\frac{A}{z} = \frac{N+Z}{Z}}_{\text{Maximalwert}}$$

Bei Abschalten der elementaren Coulomb Wechselwirkung und des Proton-Neutron-Massenunterschieds (1,3 MeV) wird die Isospin-Symmetrie **exakt**.

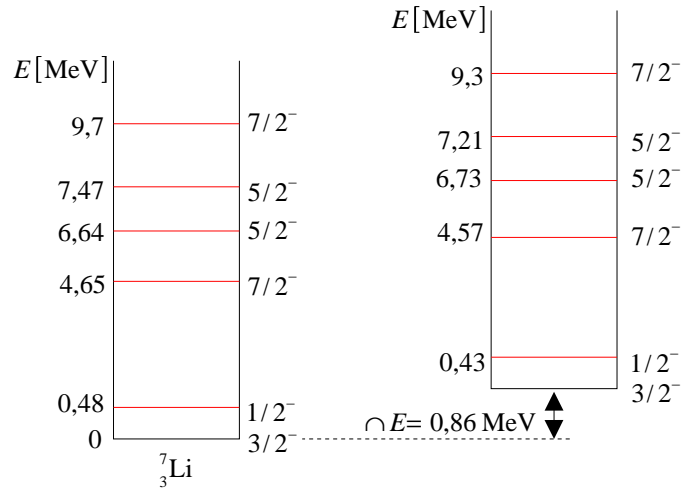
\rightarrow Ein Kerntzustand (Energieniveau) mit Gesamt-Isospin T ist $(2T+1)$ -fach entartet und sollte in isobaren Kernen ($A = N + Z$ gleich, $N - Z$ verschieden) auftreten.

Solche Isospin-Multipletts nennt man **isobare Analogzustände**.

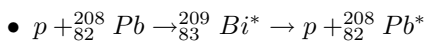
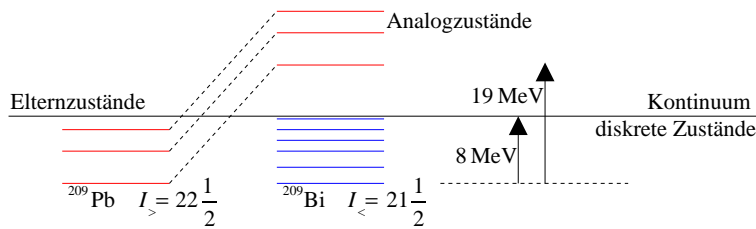
Beispiele:



- Grundzustand von ${}^{14}_7\text{N}$ mit $J^P = 1^+$ ist ein Isospin-Singulett ($T = 0$). Andernfalls gäbe es in ${}^{14}_6\text{C}$ einen aufgrund der geringeren Coulombenergie tieferliegenden 1^+ -Zustand.
- ${}^{14}_6\text{C}$ und ${}^{14}_8\text{O}$ haben $T_3 = -1$ und $T_3 = 1$. Ihre 0^+ -Grundzustände bilden zusammen mit dem ersten angeregten Zustand in ${}^{14}_7\text{N}$ ($T_3 = 0$) ein Isospin-Triplett.



- Der Grundzustand und die ersten fünf angeregten Zustände von ${}^7_3\text{Li}$ und ${}^7_4\text{Be}$ bilden **Isospin-Dubletts**.
- Bei schweren Kernen liegen solche (bzgl. Isospin entartete) Zustände oft im Kontinuum **Isobare Analog-Resonanzen**



6.6 Deformierte Kerne

- Kerne mit abgeschlossenen Schalen sind kugelsymmetrisch
- Weit weg von abgeschlossenen Schalen (d.h. halbgefüllten Schalen) polarisieren Nukleonen den Kernumpf. Das mittlere Kernpotential ist nicht mehr kugelsymmetrisch und die Kerne sind deformiert.
Quadrupolmoment (aus Atomspektroskopie)

$$Q = \int d^3r (3z^2 - r^2)$$

Ellipsoid mit Halbachsen in z-Richtung und zwei gleichen Halbachsen b und $\rho(\vec{r}) = \text{konstant}$.

$$Q = \frac{2}{5}Z(a^2 - b^2)$$

mittlerer Radius

$$\langle R \rangle = 3\sqrt{ab^2}$$

Differenz

$$\Delta R = a - b$$

Deformationsparameter

$$\delta = \frac{\Delta R}{\langle R \rangle}$$

$$Q = \frac{4}{5} Z \langle R \rangle^2 \delta$$

wächst mit Kernladung und Kerngröße.

Besser geeignet zum Vergleich verschiedener Kerne: reduziertes Quadrupolmoment (direktes Maß für Deformation)

$$Q_{red} = \frac{Q}{Z \langle R \rangle^2} = \frac{4}{5} \delta$$

Betrachte einzelnes Proton ausserhalb abgeschlossener Schale

$$Q^{(P)} = -\langle r^2 \rangle \frac{2j-1}{2(j+1)} = -Q^{(P-Loch)} \quad (j \geq \frac{3}{2})$$

$$Q_{red}^{(P,P-Loch)} = \mp \frac{1}{Z} \text{ (einige \%)}$$

Beispiele:

- ${}^{39}_{19}K$, $Z = 19$, $N = 20$
doppeltmagisch plus Protonloch in $1d_{3/2}$ -Schale

$$Q^{(exp)}({}^{39}K) = 5,5 \text{ fm}^2, \quad Q^{P-Loch} = 5,0 \text{ fm}^2$$

- ${}^{209}_{83}Bi$, $Z = 83$, $N = 126$
doppeltmagisch plus Proton in $1h_{9/2}$ -Schale

$$Q^{(exp)}({}^{209}Bi) = -35 \text{ fm}^2, \quad Q^{(P)} = -30 \text{ fm}^2$$

- Empirischer Befund:

- Kerndeformationen sehr klein in der Nähe von magischen Zahlen (abgeschlossene Schalen)
- zwischen abgeschlossenen Schalen Q_{red} bis 0,4. Die meisten großen Deformationen sind positiv

prolate Deformation, (d.h. zigarrenförmige Kerne) besonders ausgeprägt bei Seltenen Erden (Lanthaniden)

$${}^{176}_{71}Lu : Q_{red} = 0,24, \quad {}^{176}_{68}Er : Q_{red} = +0,32$$

- in selteneren Fällen große negative Deformation

oblate Deformation (d.h. linsenförmige Kerne)

$$\text{Transurane (Actiniden)} \quad {}^{227}_{89}Ac : Q_{red} = -0,04, \quad {}^{123}_{51}Sb : Q_{red} = -0,09$$

Ursache der Kerndeformation: Restwechselwirkung der Nukleonen in einer Schale

- im Mittel herrscht zwischen Nukleonen eine anziehende Kraft
in der Atomphysik ist es umgekehrt: Elektron-Elektron-Abstoßung \Rightarrow Hund'sche Regeln:
besetze zuerst Ortspotentiale mit e^- , dann mit umgekehrtem Spin.

- * Nukleon mit gleicher Ortswellenfunktion gruppieren sich in Paare mit $J^P = 0^+$:
 $l_1 = l_2, m_1 = -m_2, \vec{j}_1 + \vec{j}_2 = 0$
 \rightarrow dadurch gewinnen Kerne zusätzliche Stabilität

- * Nukleonpaare besetzen bevorzugt Orbitale mit benachbarten $m \rightarrow$ Deformation
- * Drehimpuls und Parität J^P der Kerne werden allgemein durch einzelne ungepaarte Nukleonen bestimmt.
 - doppeltgerade (gg)-Kerne haben $J^P = 0^+$ Grundzustand
 - einfachungerade (ug,gu)-Kerne: J^P durch letztes ungepaartes Nukleon bestimmt.
 - doppeltungerade (uu)-Kerne: J^P aus Kopplung von ungepaartem Proton und ungepaartem Neutron

Rotationszustände Permanent deformierte Kerne besitzen charakteristische Anregungsmuster: Serien von Zuständen mit wachsendem Drehimpuls deren energetischer Abstand linear zunimmt.

Rotationsbanden (analog zu Molekülen)

= kollektive Kernanregung, an der alle Nukleonen beteiligt sind.

Deformierte (gg)-Kerne mit Grundzustand $J^P = 0^+$ (innerer Drehimpuls ist Null)

Beispiele: ${}_{90}^{232}\text{Th}$, ${}_{92}^{238}\text{U}$, ${}_{94}^{238}\text{Pu}$, ${}_{72}^{170}\text{Hf}$, ${}_{54}^{120}\text{Xe}$, ${}_{74}^{182}\text{W}$, ${}_{70}^{170}\text{Yb}$, ${}_{66}^{156}\text{Dy}$, ...

wie symmetrischer Kreisel mit Hauptträgheitsmomenten $\Theta_1 = \Theta_2 = \Theta \neq \Theta_3$

Bei quantenmechanischem System kann keine kollektive Rotation um eine Symmetrie-Achse auftreten.

$$J_{rot,3} | \text{axialsym. Zustand} \rangle = 0$$

\rightarrow kollektive Rotation senkrecht zur Symmetrieachse

Hamiltonoperator der Rotation

$$H_{rot} = \frac{\vec{J}_{rot}^2}{2\Theta}$$

Energieeigenwerte

$$E_J = \frac{J(J+1)}{2\Theta}$$

Eigenfunktion: Kugelflächenfunktion Y_{JMj} : Aus Symmetriegründen sind bei 0^+ -Grundzustand nur gerade $J = 0, 2, 4, \dots$ erlaubt

Invarianz bei Spiegelung an z ; Faktor $(-1)^J$ von Y_{Jm}

\rightarrow Energieabstand aufeinanderfolgender Rotationszustände

$$E_{j+2} - E_j = (2J + 3)/\Theta$$

nimmt linear mit J zu.

Beispiel: ${}_{90}^{232}\text{Th}$

elektrische Quadrupolübergänge \rightarrow beobachtet mittels γ -Spektroskopie

Erzeugung der Kernrotationszustände mittels Coulombanregung

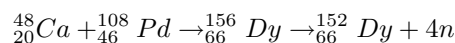
Vorteil: reine elm. WW, keine inneren Anregungen des Kerns

$$E_{ans} < \frac{Z_1 Z_2 \alpha}{R_1 + R_2}$$

Hochspin-Rekord: $J = 60$

prolatsuperdeformiert: 2:1:1

Fusionsreaktionen



Drehimpuls se

$$J^{max} = (R_1 + R_2) \sqrt{2M_{red} E_{kin}} = 180$$

Experimentell beobachtet: $J^{max} = 60$

Trägheitsmoment